

第一节 波动方程的差分逼近 – 微分方程数值解

笔记本：我的第一个笔记本

创建时间：2017/6/12 12:22

URL：https://iclass.bupt.edu.cn/webapps/blackboard/content/listContent.jsp?course_id=_11052_1&content_id=_52846_1

第一节 波动方程的差分逼近



学习指导：E 双曲方程 第一节

本节介绍波动方程的差分逼近。



作业&思考：E 双曲方程 第一节



讲义：E 双曲方程 第一节

§ 6.1. 波动方程的差分逼近

6.1.1 波动方程及其特征

最简单模型（波动方程初值问题）

其中 $a > 0$ 是常数，(1.1) 相应的特征方程为

$$dx^2 - a^2 dt^2 = 0 \Leftrightarrow 1 - a^2 \left(\frac{dt}{dx}\right)^2 = 0$$

⇒ 特征方向：

$$\frac{dt}{dx} = \pm \frac{1}{a}$$

⇒ 两族（特征）直线：

$$x - at = c_1, \quad x + at = c_2$$

利用上述变量代换

方程 (1.1) 变为：

$$\frac{\partial^2 u}{\partial c_1 \partial c_2} = 0$$

方程 (1.1) 的通解：

$$u = f_1(c_1) + f_2(c_2) = f_1(x - at) + f_2(x + at) \quad (1.3)$$

利用 (1.3) 和初值条件 (1.2) 可导出模型问题的解析解表示式。

d'Alembert 公式

$$u(x, t) = \frac{1}{2}[\phi_0(x - at) + \phi_0(x + at)] + \frac{1}{2a} \int_{x-at}^{x+at} \phi_1(\xi) d\xi \quad (1.4)$$

证明：由初值条件 (1.2) 和 (1.3) 有：

$$\begin{cases} f_1(x) + f_2(x) = \phi_0(x), & (*)1 \end{cases}$$

$$\begin{cases} -af_1'(x) + af_2'(x) = \phi_1(x), & (*)2 \end{cases}$$

分别作 $a \cdot (*)1' + (*)2$ ，以及 $a \cdot (*)1' - (*)2$ ，得

$$\begin{cases} af_2'(x) = \frac{1}{2}(a\phi_0'(x) + \phi_1(x)) \\ af_1'(x) = \frac{1}{2}(a\phi_0'(x) - \phi_1(x)) \end{cases}$$

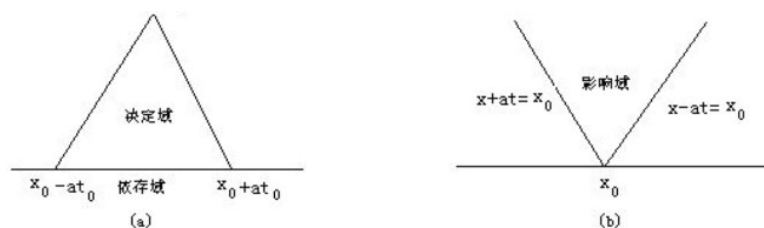
$$\begin{cases} f_1(x) = \frac{1}{2a} \int_0^x (a\phi_0'(\xi) - \phi_1(\xi)) d\xi + f_1(0) \\ f_2(x) = \frac{1}{2a} \int_0^x (a\phi_0'(\xi) + \phi_1(\xi)) d\xi + f_2(0) \end{cases}$$

$$\begin{cases} f_1(x) = \frac{1}{2}(\phi_0(x) - \phi_0(0)) - \frac{1}{2a} \int_0^x \phi_1(\xi) d\xi + f_1(0) \\ f_2(x) = \frac{1}{2}(\phi_0(x) - \phi_0(0)) + \frac{1}{2a} \int_0^x \phi_1(\xi) d\xi + f_2(0) \end{cases}$$

(注意： $f_1(0) + f_2(0) = \phi_0(0)$)

$$\begin{aligned} u(x, t) &= f_1(x - at) + f_2(x + at) \\ &= \frac{1}{2}[\phi_0(x - at) + \phi_0(x + at)] + \frac{1}{2a} \int_{x-at}^{x+at} \phi_1(\xi) d\xi \end{aligned} \quad (1.5)$$

(x_0, t_0)



依存域: 在点 (x_0, t_0) 处的解仅依赖于初始函数在该（局部）区间上的值. (见上图(a))

说明了双曲型方程的重要特征: **解的局部依赖性;**

利用该特性知: $t = t_n$ 时间层上的某个空间点 x_j 的数值解只与 $t = t_{n-1}$ 上的 x_j 的小邻域上的值有关, 并且时间步长越小, 该小邻域就越小.

决定域: 依存域决定该三角域中的解函数的值. (见上图(a))

影响域: 初始函数在点 x_0 处的值影响该区域中的解函数的值. (见上图(b))

点 x_0 处的数值解, 随着时间 t 的增大, 在 t 时间层的影响区间越来越大. 大家设想, 将一块石头投入水中时, 水窝随着时间的增大, 越来越大. 所以波动方程反映了水波的特性.

从 **d'Alembert 公式** 还可见: 解函数关于 x 变量的光滑性较初始函数 ϕ_1 高 (因为解的表达式中出现的是关于 ϕ_1 的积分项).

6.1.2 显格式

(1) 对求解域作**网格剖分**:

$$\text{节点: } x_j = jh, \quad j = 0, \pm 1, \dots$$

$$t_n = n\tau, \quad n = 0, 1, \dots$$

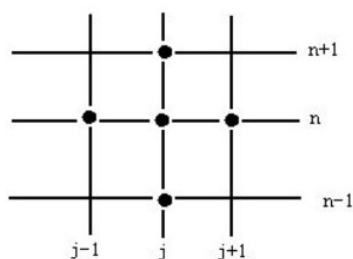
空间和时间步长: h, τ

(2) 在节点 (x_j, t_n) 处

偏导数离散: 二阶中心差商.

$$\frac{u_j^{n+1} - 2u_j^n + u_j^{n-1}}{\tau^2} = a^2 \frac{u_{j+1}^n - 2u_j^n + u_{j-1}^n}{h^2} \quad (1.6)$$

$$j = 0, \pm 1, \dots; n = 0, 1, \dots$$



局部截断误差: $O(\tau^2 + h^2)$

利用初始条件可导出在**前两个时间层**上的离散格式 (P.160):

$$u_j^0 = \phi_0(x_j), \quad (1.8)$$

$$\frac{u_j^1 - u_j^0}{\tau} = \phi_1(x_j) \quad (1.9)$$

相应局部截断误差为 $O(\tau)$

改进方案:

$$\frac{u_j^1 - u_j^{-1}}{2\tau} = \phi_1(x_j) \quad (1.9)'$$

在 (1.6) 中令 $n = 0$,

$$\frac{u_j^1 - 2u_j^0 + u_j^{-1}}{\tau^2} = a^2 \frac{u_{j+1}^0 - 2u_j^0 + u_{j-1}^0}{h^2}$$

利用(1.9)', 消去 u_j^{-1} , 得到格式

$$u_j^1 = \frac{r^2}{2} [\phi_0(x_{j-1}) + \phi_0(x_{j+1})] + (1 - r^2)\phi_0(x_j) + \tau\phi_1(x_j) \quad (1.10)$$

其局部截断误差为 $O(\tau^2 + h^2)$

上述格式可用于求解**混合问题(初边值问题)**

$$\begin{cases} \frac{\partial^2 u}{\partial t^2} - a^2 \frac{\partial^2 u}{\partial x^2} = 0, & x < 0 < L, \quad 0 < t \leq T \\ u(x, 0) = \phi_0(x), & u_t(x, 0) = \phi_1(x), \\ u(0, t) = \alpha(t), & u(L, t) = \beta(t). \end{cases} \quad (1.13)$$